

SURFACES BRANCHÉES ET SOLÉNOÏDES ε -HOLOMORPHES

BERTRAND DEROIN

RÉSUMÉ. Nous démontrons que pour tout $\varepsilon > 0$, il existe une lamination compacte par surfaces ε -holomorphes dans le plan projectif complexe, minimale, et possédant un lacet d'holonomie hyperbolique. Nous appelons ε -holomorphe une surface réelle Σ dont l'angle entre le plan tangent $T\Sigma$ et $iT\Sigma$ est uniformément majoré par ε . Ces surfaces sont en particulier symplectiques lorsque ε est assez petit.

Title. ε -holomorphic branched surfaces and solenoids.

Abstract. We show that for every $\varepsilon > 0$, there exists a compact lamination by ε -holomorphic surfaces in the complex projective plane, minimal, and that carries hyperbolic holonomy. We call ε -holomorphic a real 2-dimensional surface Σ in $\mathbf{C}P^2$ such that the angle between $T\Sigma$ and $iT\Sigma$ is uniformly bounded by ε . When ε is sufficiently small, such surfaces are in particular symplectic.

1. INTRODUCTION

Une question encore ouverte est celle de l'existence d'une lamination compacte par courbes holomorphes dans le plan projectif complexe, ne contenant pas de courbe algébrique. Notre intérêt pour cette question est la *conjecture du minimal exceptionnel*, qui affirme qu'une feuille d'un feuilletage holomorphe singulier du plan projectif complexe s'accumule sur une singularité. Si une feuille d'un tel feuilletage ne s'accumulait pas sur une singularité, alors son adhérence serait une lamination compacte par courbes holomorphes; cette lamination serait non triviale dans le sens qu'elle ne supporterait pas de mesure transverse invariante, que toutes ses feuilles seraient hyperboliques [3], et qu'elle contiendrait un lacet d'holonomie hyperbolique [2].

1991 *Mathematics Subject Classification.* 37F75,37C85,53D05,37B50,35B41.

Key words and phrases. Solenoïd, branched surfaces, holomorphic curves, symplectic surfaces.

The author acknowledges support from the *Swiss National Science Foundation*.

Des progrès récents ont été faits lorsque l'espace total de la lamination est une *hypersurface réelle*. Une hypersurface réelle de \mathbf{CP}^2 est dite *Levi-plate* si elle est feuilletée par des courbes holomorphes. Siu a démontré qu'il n'y a pas d'hypersurface Levi-plate compacte de classe C^8 dans \mathbf{CP}^2 [12]. La régularité a été améliorée par Jordan et Cao/Shaw/Wang à une hypersurface Levi-plate de classe C^4 et C^2 [10, 4]. Sous des hypothèses de régularité beaucoup plus fortes, et de nature globale, nous avons démontré qu'il n'existe pas d'hypersurface Levi-plate compacte *immergée* dans \mathbf{CP}^2 [5].

Le cas d'un *solénoïde*, c'est-à-dire d'une lamination dont l'espace transverse est totalement discontinu, semble bien plus délicat. Rappelons qu'une surface lisse de \mathbf{CP}^2 est une courbe holomorphe si et seulement si son plan tangent est invariant par multiplication par $i = \sqrt{-1}$. Étant donné un réel $\varepsilon > 0$, appelons ε -*holomorphe* une surface lisse ou une famille de surfaces lisses du plan projectif complexe dont le plan tangent fait un angle inférieur à ε avec son image par multiplication par i . L'angle est mesuré avec une métrique hermitienne de \mathbf{CP}^2 , par exemple la métrique de Fubini-Study. Dans ce travail, nous montrons que *pour tout $\varepsilon > 0$, il existe un solénoïde compact par surfaces ε -holomorphes plongé de manière lisse dans le plan projectif complexe, minimal, et qui admet un lacet d'holonomie hyperbolique* (voir Corollaire 6.2). En particulier, les feuilles de ces solénoïdes sont symplectiques lorsque ε est suffisamment petit. De plus, nous conjecturons qu'il existe dans \mathbf{CP}^2 un solénoïde par courbes holomorphes, minimal, et possédant un lacet d'holonomie hyperbolique (voir Remarque 6.3).

2. STRUCTURE DE LA DÉMONSTRATION

Les solénoïdes par surfaces ε -holomorphes que nous obtenons sont inspirés d'un solénoïde "abstrait" construit par Sullivan pour étudier les endomorphismes dilatants du cercle [13]. La partie 3 est consacrée à la construction de ce dernier, et à certaines de ses variantes : pour tout $g \geq 0$, nous construisons un solénoïde compact \mathcal{S}_g "abstrait", que nous appelons le *solénoïde de Sullivan de genre g* .

Il est possible d'approcher les solénoïdes \mathcal{S}_g par des *surfaces branchées lisses* $\bar{\Sigma}$. Elles sont obtenues en partant d'une surface compacte Σ avec deux composantes de bords $\partial_-\Sigma$ et $\partial_+\Sigma$, que l'on identifie par un revêtement double

$$r : \partial_+\Sigma \rightarrow \partial_-\Sigma.$$

Leur structure lisse est explicitée au paragraphe 3.3. L'analogue 1-dimensionnel de ce procédé d'approximation est la théorie des *réseaux*

ferroviaires inventée par Thurston pour étudier les laminations géodésiques d'une surface hyperbolique [1]. En dimension supérieure, l'approximation d'un solénoïde par des variétés branchées a été étudiée par Williams [14] et Gambaudo [6].

Au paragraphe 4, nous étudions l'image $\pi(\overline{\Sigma})$ d'un plongement lisse $\pi : \overline{\Sigma} \rightarrow V$ dans une variété orientée de dimension 4, et nous donnons des formes locales de la topologie de leur voisinage (Théorème 4.6). Essentiellement, ils ne dépendent que d'un invariant $N(\pi(\overline{\Sigma}), V)$ que nous appelons *tresse normale*.

Nous démontrons ensuite (Théorème 5.1) que si l'on a un plongement lisse $\pi : \overline{\Sigma} \rightarrow V$, alors il existe un plongement lisse $\pi_\infty : \mathcal{S}_g \rightarrow V$ du solénoïde de Sullivan de genre $g = g(\Sigma)$ aussi proche que l'on veut de π dans la topologie lisse.

Bien que la notion de surface branchée holomorphe n'ait pas de sens à cause du principe de prolongement analytique, celle de surface branchée ε -holomorphe en a lorsque ε est strictement positif. Pour tout $\varepsilon > 0$, nous construisons un plongement lisse ε -holomorphe de $\overline{\Sigma}_2$ dans le plan projectif complexe (Théorème 6.1). On en déduit que pour tout $\varepsilon >$, il existe un plongement lisse ε -holomorphe du solénoïde de Sullivan de genre 2 dans $\mathbf{C}P^2$ (Corollaire 6.2).

Remerciements. Je remercie Étienne Ghys et André Haefliger pour l'encouragement qu'ils m'ont apporté. Je remercie aussi Sidney Frankel, Emmanuel Giroux, Alexei Glutsyuk, Martin Pinsonnault, Jean-Claude Sikorav et Jean-Yves Welschinger pour les nombreuses conversations que l'on a échangées sur ce sujet. Ce travail a été rendu possible grâce à l'hospitalité de l'université de Genève et de l'université de Toronto.

3. SOLÉNOÏDES ET SURFACES BRANCHÉES

Une *lamination par surfaces de Riemann* d'un espace topologique X est un atlas \mathcal{L} constitué d'homéomorphismes $\varphi : U \rightarrow \mathbf{D} \times T$ (les ouverts U forment un recouvrement de X) à valeurs dans le produit du disque unité par un espace métrique, tel que :

- (i) Les changements de cartes préservent la fibration locale par disques.
- (ii) Ils sont holomorphes le long des fibres.

Lorsque les espaces transverses T sont totalement discontinus, nous appelons la lamination un *solenôïde*.

3.1. Le solénoïde de Sullivan. Soit $\mathbf{D}^* = \{0 < |z| < 1\}$ le disque épointé et r le revêtement double

$$r : z \in \mathbf{D}^* \mapsto z^2 \in \mathbf{D}^*.$$

Appelons *orbite* une partie $\{z_n\}_{n \in \mathbf{Z}}$ de \mathbf{D}^* telle que pour tout entier n ,

$$z_{n+1} = z_n^2.$$

telle que pour tout point z de O les propriétés suivantes sont vérifiées. Les orbites de r sont des parties discrètes de \mathbf{D}^* , puisque les itérés positifs de r convergent vers 0, et les branches inverses de r convergent vers le cercle unité. L'ensemble de toutes les orbites de r , muni de la topologie de Hausdorff sur les compacts, est un espace topologique compact que nous notons \mathcal{S} .

Proposition 3.1. *L'espace \mathcal{S} a une structure de solénoïde par surfaces de Riemann.*

Démonstration. Soit z un point du disque épointé. Une orbite O de r contenant z est construite de la façon suivante. On choisit une détermination z_1 de la racine de z , une détermination z_2 de la racine de z_1 etc. L'orbite O est la réunion des itérés de z par r et de la famille $\{z_1, z_2, \dots\}$. Ainsi, l'ensemble des orbites de r qui contiennent le point z s'identifie au bord de l'arbre diadique dessiné sur la Figure 3.1. Cet espace est donc homéomorphe à l'ensemble de Cantor.

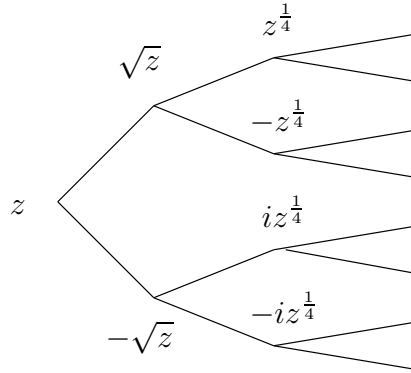


FIG. 1 –

Considérons un disque δ de \mathbf{D}^* , assez petit pour que toute orbite de r l'intersecte en au plus un point, et analysons la structure de l'ouvert $B(\delta)$ des orbites O de r qui intersectent δ . Notons $z(O)$ le point d'intersection d'une telle orbite O avec δ . L'application

$$z : O \in B(\delta) \mapsto z(O) \in \delta$$

est continue, et ses fibres sont des ensembles de Cantor. De plus, étant donné un point O de $B(\delta)$, nous pouvons suivre les déterminations analytiques des branches inverses de r lorsqu'on fait varier z dans δ . Ceci prouve que z est une fibration localement triviale. Il existe donc une application $t : B(\delta) \rightarrow T$, où T est l'ensemble de Cantor, telle que (z, t) est un homéomorphisme de $B(\delta)$ dans $\delta \times T$. Ce sont les cartes qui munissent \mathcal{S} d'une structure de solénoïde par surfaces de Riemann. La Proposition 3.1 est démontrée.

Faisons une construction analogue en genre non nul. Considérons une suite de surfaces *hyperboliques* compactes $\Sigma_{2^n g}$ de genre $2^n g$, dont le bord est formé de deux composantes connexes géodésiques $\partial_- \Sigma_{2^n g}$ et $\partial_+ \Sigma_{2^n g}$. Et des revêtements doubles localement isométriques $r_n : \Sigma_{2^{n+1}g} \rightarrow \Sigma_{2^n g}$. Formons une surface hyperbolique non compacte $\Sigma_{\infty, g}$ en attachant les surfaces $\Sigma_{2^n g}$ par une identification géodésique de $\partial_- \Sigma_{2^{n+1}g}$ avec $\partial_+ \Sigma_{2^n g}$ (voir Figure 3.1). Il y a plusieurs façons de coller ces surfaces, mais nous faisons en sorte de construire aussi un revêtement localement isométrique

$$r : \Sigma_{\infty, g} - \Sigma_g \rightarrow \Sigma_{\infty, g},$$

qui en restriction à $\Sigma_{2^{n+1}g}$ est le revêtement double r_n au dessus de $\Sigma_{2^n g}$.

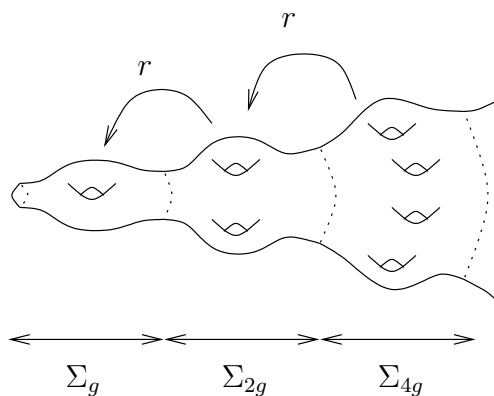


FIG. 2 – $\Sigma_{\infty, g}$

Une *orbite* de r est une partie O de $\Sigma_{\infty, g}$ telle que pour tout point z de O , les deux propriétés suivantes soient satisfaites. D'une part, les itérés par r de z , lorsqu'ils sont définis, sont dans O , et d'autre part, il existe un unique w dans O tel que $r(w) = z$. L'espace de toutes les

orbites de r , muni de la topologie de Hausdorff sur les compacts, est un solénoïde par surfaces de Riemann que l'on note \mathcal{S}_g . La démonstration de ce fait est analogue à celle de la Proposition 3.1. D'ailleurs, lorsque g est nul, le solénoïde \mathcal{S}_0 est biholomorphe au solénoïde de Sullivan \mathcal{S} .

3.2. Approximation de \mathcal{S}_g par des surfaces branchées. Soit g un entier positif. Pour tout entier n , le revêtement r induit un revêtement double

$$r : \partial_+ \Sigma_{2n_g} \rightarrow \partial_- \Sigma_{2n_g}.$$

Notons

$$(3.1) \quad i : \partial_+ \Sigma_{2n_g} \rightarrow \partial_+ \Sigma_{2n_g}$$

l'involution définie par ce revêtement, et identifions les points z , $i(z)$ et $r(z)$ de Σ_{2n_g} si z appartient à $\partial_+ \Sigma_{2n_g}$.

Nous obtenons une *surface branchée* $\overline{\Sigma_{2n_g}}$, dont le lieu de branchement est un cercle localement homéomorphe à un livre ouvert à trois feuilles. En effet, le voisinage d'un point du lieu de branchement est obtenu en attachant trois demi-disques ouverts $D(r(z))$, $D(z)$ et $D(i(z))$ (voir Figures 3.2 et 3.3). Lorsqu'on fait le tour du lieu de branchement, les deux feuilletts $D(z)$ et $D(i(z))$ sont échangés alors que $D(r(z))$ reste fixe.

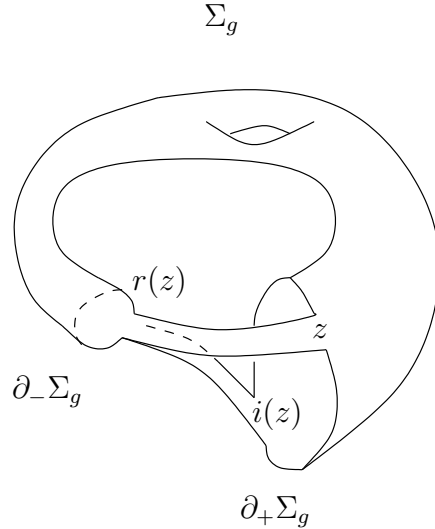


FIG. 3 – $\overline{\Sigma_g}$

Chaque orbite O de r intersecte $\Sigma_{2^n g}$ en un point à l'intérieur, ou en deux points $r(z)$ et z sur chaque bord de $\Sigma_{2^n g}$. L'application

$$(3.2) \quad p_{g,n} : O \in \mathcal{S}_g \mapsto O \cap \Sigma_{2^n g} \in \overline{\Sigma_{2^n g}}$$

est donc bien définie et continue.

Lemme 3.2. *Le diamètre des fibres de $p_{g,n}$ tend uniformément vers 0 lorsque n tend vers l'infini.*

Remarque 3.3. L'espace topologique \mathcal{S}_g est métrisable. Le résultat est indépendant de la métrique que nous choisissons.

Démonstration. Soit n un entier positif. L'image $p_n(O)$ d'une orbite de O détermine son intersection avec la réunion

$$\bigcup_{0 \leq k \leq n-1} \Sigma_{2^k g} \subset \Sigma_{\infty, g}.$$

Cette famille de parties de $\Sigma_{\infty, g}$ est croissante et sa réunion est $\Sigma_{\infty, g}$, donc le diamètre des fibres de l'application p_n tend uniformément vers 0 lorsque n tend vers l'infini.

3.3. Structure lisse. Soit \mathcal{L} une lamination par surfaces de Riemann d'un espace topologique X . Une fonction $f : X \rightarrow \mathbf{R}$ est de classe C^k si dans une carte $(z, t) : U \rightarrow \mathbf{D} \times T$, les fonctions

$$f_t(z) = f(t, z) : \mathbf{D} \rightarrow \mathbf{R}$$

sont de classe C^k et dépendent continument de t dans la topologie C^k . Cette définition est bien indépendante du système de coordonnées choisi dans \mathcal{L} , car les changements de cartes sont holomorphes.

Il s'agit de construire une structure lisse sur les surfaces branchées $\overline{\Sigma_{2^n g}}$, qui approche la structure lisse de \mathcal{S}_g lorsque n tend vers l'infini (voir Lemme 3.5). Cette structure est définie par l'ensemble de ses fonctions lisses à valeurs dans \mathbf{R} . Elle vérifie la propriété suivante : si $f : \overline{\Sigma_{2^n g}} \rightarrow \mathbf{R}^q$ et $g : \mathbf{R}^q \rightarrow \mathbf{R}$ sont des fonctions lisses, alors $g \circ f$ est une fonction lisse.

Définition 3.4. La structure lisse au voisinage du lieu de branchement est obtenue de la façon suivante. Il existe un voisinage \overline{A} du lieu de branchement de $\overline{\Sigma_{2^n g}}$ qui est homéomorphe au quotient de l'anneau $A = [0, 1] \times \mathbf{S}^1$ par la relation qui identifie les points (r, z) et $(r, -z)$ si r est supérieur à $1/2$. Notons

$$p : A \rightarrow \overline{A}$$

la projection canonique. Une fonction $f : \overline{A} \rightarrow \mathbf{R}$ est dite de classe C^k si $f \circ p$ est de classe C^k ($k = 1, \dots, \infty$).

En dehors du lieu de branchement, la structure lisse est l'unique structure lisse sur une surface topologique à bord.

Notons qu'avec cette définition, il est possible de définir un espace tangent en tout point de $\overline{\Sigma_{2^n g}}$, y compris sur le lieu de branchement. La Figure 3.3 illustre ce fait : elle représente l'image d'un voisinage du lieu de branchement par une immersion lisse à valeurs dans \mathbf{R}^3 .

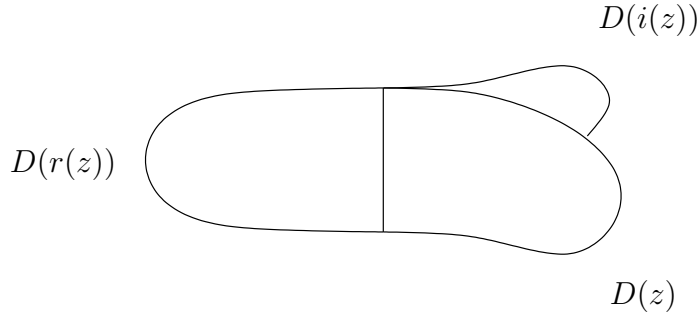


FIG. 4 – Lieu de branchement

Pour tous les entiers g et n , les applications $p_{g,n} : \mathcal{S}_g \rightarrow \overline{\Sigma_{2^n g}}$ définies en 3.2 sont lisses. En fait, une fonction $f : \overline{\Sigma_{2^n g}} \rightarrow \mathbf{R}$ est lisse si et seulement si $f \circ p_{g,n}$ est une fonction lisse.

Lemme 3.5. *Pour toute fonction lisse $f : \mathcal{S}_g \rightarrow \mathbf{R}$, il existe une suite de fonctions lisses $f_n : \overline{\Sigma_{2^n g}} \rightarrow \mathbf{R}$ telles que $f_n \circ p_{g,n}$ convergent vers f dans la topologie C^∞ lorsque n tend vers l'infini.*

Démonstration. Il suffit de démontrer que, pour tout entier k positif, il existe une suite de fonctions lisses f_n telles que $f_n \circ p_{g,n}$ convergent vers f dans la topologie C^k .

Nous affirmons qu'il est possible de trouver un recouvrement ouvert fini $\{U_k\}$ de \mathcal{S}_g et des cartes holomorphes $U_k \rightarrow \mathbf{D} \times T_k$ telles que les fibres de $p_{g,0}$ soient contenues dans les ensembles $\{z\} \times T_k$. Ceci découle directement de la démonstration de 3.1. Observons alors que pour tout n et tout k , nous pouvons trouver une partition (finie) de T_k en des parties ouvertes et fermées $T_{k,l}^n$ dont les diamètres tendent uniformément vers 0 lorsque n tend vers l'infini, et telles que les fibres de $p_{g,n}$ soient contenues dans les ensembles $z \times T_{k,l}^n$.

Soit $0 < \rho < 1$ un réel tel que, en notant $\mathbf{D}_\rho = \{|z| \leq \rho\}$, les ouverts $\mathbf{D}_\rho \times T_k$ recouvrent encore \mathcal{S}_g . Quitte à prendre une partition de l'unité formée de fonctions dont les supports sont inclus dans $\mathbf{D}_\rho \times T_k$, nous pouvons supposer que le support de f est contenu dans l'un des $\mathbf{D}_\rho \times T_k$.

Pour tout n et tout l , choisissons un point $t_{k,l}^n$ dans $T_{k,l}^n$, et posons

$$g_n(z, t) = f(z, t_{k,l}^n)$$

si t appartient à $T_{k,l}^n$, et $f_n(z, t) = 0$ sinon. La fonction g_n est une fonction lisse. De plus, puisque le diamètre de $T_{k,l}^n$ tend uniformément vers 0 lorsque n tend vers l'infini, les fonctions g_n convergent vers f dans la topologie C^k lorsque n tend vers l'infini.

Les fibres de p_n sont contenues dans les ensembles $z \times T_{k,l}$. Il existe donc une fonction $f_n : \overline{\Sigma}_{2n_g} \rightarrow \mathbf{R}$ telle que $g_n = f_n \circ p_n$. Le Lemme 3.5 est démontré.

4. VOISINAGE TUBULAIRE DES SURFACES BRANCHÉES $\overline{\Sigma}_g$

Soit g un entier positif. Dans ce paragraphe nous étudions l'image $\overline{\Sigma} = \pi(\overline{\Sigma}_g)$ d'un plongement lisse $\pi : \overline{\Sigma}_g \rightarrow V$ dans une variété orientée V de dimension 4. Nous appelons *plongement lisse* un plongement topologique dont la dérivée est injective, y compris sur le lieu de branchement.

4.1. Tresse normale. Un voisinage d'une sous-variété compacte est, d'après le Théorème du voisinage tubulaire, difféomorphe à son fibré normal. Le cas des surfaces branchées est tout à fait différent : le fibré normal de $\overline{\Sigma}$ est toujours trivial, mais pourtant il existe un autre invariant, que nous appelons *tresse normale*. Cette terminologie sera justifiée en 4.3.

Proposition 4.1. *Le fibré normal de $\overline{\Sigma} \subset V$ est trivial. En fait, $H^2(\overline{\Sigma}, \mathbf{Z}) = 0$.*

Démonstration. Soit \overline{A} un voisinage du lieu de branchement de $\overline{\Sigma}$, et Σ l'extérieur du lieu de branchement. Nous avons $\overline{\Sigma} = \overline{A} \cup \Sigma$, et la suite exacte de Mayer-Vietoris s'écrit :

$$H^1(\Sigma) \oplus H^1(\overline{A}) \xrightarrow{i_{\Sigma}^* \oplus i_{\overline{A}}^*} H^1(\Sigma \cap \overline{A}) \rightarrow H^2(\overline{\Sigma}) \rightarrow H^2(\Sigma) \oplus H^2(\overline{A}).$$

Remarquons déjà que le dernier terme de cette suite est nul, d'une part parce que le H^2 d'une surface non compacte est nul, et d'autre part parce que \overline{A} est homotopiquement équivalent à un cercle.

Il nous suffit alors de montrer que $i_{\Sigma}^* \oplus i_{\overline{A}}^*$ est surjective. Soit c_+ et c_- des courbes obtenues en poussant $\partial_- \Sigma$ et $\partial_+ \Sigma$ à l'intérieur de Σ . Comme $\Sigma \cup \overline{A}$ est homotopiquement équivalent à la réunion $c_- \cup c_+$, le groupe $H^1(\Sigma \cup \overline{A})$ est le groupe abélien libre engendré par $[c_-]^*$ et $[c_+]^*$ ($[c_-]^*, [c_+]^*$ est la base duale de $[c_-], [c_+]$). Mais comme les courbes c_- et c_+ sont homotopes aux deux bords de Σ , il existe une forme linéaire λ_{Σ} sur $H_1(\Sigma)$ qui vaut 1 sur $[c_+]$ et 1 ou -1 sur $[c_-]$. D'autre part,

$H_1(\overline{A}) = \mathbf{Z}[c_-]$, et $[c_+] = 2[c_-]$; il existe donc une forme linéaire sur $\lambda_{\overline{A}}$ sur $H_1(\overline{A})$ qui vaut 1 sur $[c_-]$ et 2 sur $[c_+]$. Les formes $i_{\Sigma}^* \lambda_{\Sigma}$ et $i_{\overline{A}}^* \lambda_{\overline{A}}$ engendrent donc $H^1(\Sigma \cap \overline{A})$ et la Proposition est démontrée.

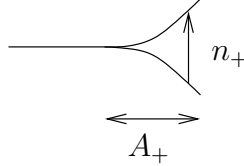


FIG. 5 – La section n_+

Définissons à présent la tresse normale. D'après la Proposition 4.1, il existe une section continue $n : \overline{\Sigma} \rightarrow N$ du fibré normal de $\overline{\Sigma}$, qui ne s'annule pas. Comme c_+ est homologue à 0 dans $\overline{\Sigma}$, la restriction $n|_{c_+}$ de n à c_+ est uniquement déterminée à homotopie près.

Nous avons d'autre part une section $n_+ : A_+ \rightarrow N$ définie par

$$\pi \circ i(x) = \exp(n_+(i(x))),$$

et que nous avons représentée sur la Figure 4.1. Elle mesure comment les feuilletts tournent au voisinage du lieu de branchement de $\overline{\Sigma}$. Rappelons que l'application i est une involution sans point fixe définie sur A_+ (voir 3.1). L'application \exp est l'application exponentielle définie sur le fibré normal de $\overline{\Sigma}$ (identifié à l'orthogonal du fibré tangent) à valeurs dans V . La section n_+ ne s'annule pas et sa classe d'homotopie est aussi bien définie.

Définition 4.2. La *tresse normale* $N(\overline{\Sigma}, V)$ est l'indice de la fonction

$$\frac{n_+}{n} : c_+ \rightarrow \mathbf{C}^*,$$

l'orientation de c_+ étant donnée par celle de $\partial_- \Sigma$ (ou l'orientation opposée à $\partial_+ \Sigma$).

Remarque 4.3. La tresse normale peut être beaucoup plus compliquée pour des surfaces branchées dont le lieu de ramification est un livre ouvert à plus de quatre feuilles. Considérons par exemple la surface branchée obtenue en quotientant $[0, 1] \times \mathbf{S}^1$ par la relation qui identifie les points (r, z) , (r, jz) et (r, j^2z) lorsque $r \leq 1/2$ (ici $j = \exp(2i\pi/3)$). Elle est munie de la structure lisse naturelle pour laquelle les fonctions lisses sont les fonctions lisses sur $[0, 1] \times \mathbf{S}^1$ qui sont constantes sur les classes d'équivalence. Le bord de cette surface est formée de deux

cercles que nous attachons par un difféomorphisme, et nous obtenons de la sorte une surface branchée $\overline{\Sigma}^{(3)}$. Le lecteur pourra s'assurer qu'il est possible de définir un invariant

$$N : \{\text{plongements lisses } \pi : \overline{\Sigma}^{(3)} \rightarrow V\} \rightarrow B_3$$

à valeurs dans le groupe des tresses à 3 brins B_3 . C'est la raison pour laquelle nous avons appelé l'invariant N la tresse normale.

Un corollaire du Théorème 4.6 est le fait que la tresse normale prend des valeurs impaires pour les surfaces $\Sigma_m^{(2)}$. Il n'y a rien de surprenant à cela, puisque B_2 est isomorphe à \mathbf{Z} , les tresses impaires correspondant aux tresses *connexes*.

4.2. Formes normales. Pour tout entier p , nous construisons une variété orientée V_p de dimension 4 et une surface branchée lisse orientée $\overline{\Sigma} \subset V_p$ difféomorphe à $\overline{\Sigma}_g$ de tresse normale $N(\overline{\Sigma}, V_p) = 1 - 2p$. Ceci montre que la tresse normale n'est pas un invariant trivial.

La variété V_p a du bord, des coins et n'est pas compacte. C'est la réunion des deux variétés $W_1 = A \times \mathbf{C}$ ($A = [0, 1] \times \mathbf{S}^1$) et $W_2 = \Sigma_g \times \mathbf{D}$ que l'on a collées sur des parties de leur bord par les plongements lisses :

$$\Phi_+ : (z, \zeta) \in \partial_+ \Sigma_g \times \mathbf{D} \mapsto (z^2, 4z + z^p \zeta) \in \partial_+ A \times \mathbf{C},$$

et

$$\Phi_- : (z, \zeta) \in \partial_- \Sigma_g \times \mathbf{D} \mapsto (z, \zeta) \in \partial_- A \times \mathbf{C},$$

les coordonnées z en restriction aux bords de A et Σ préservant l'orientation de $\partial_- \Sigma$, $\partial_+ A$, et renversant l'orientation de $\partial_+ \Sigma$, $\partial_- A$.

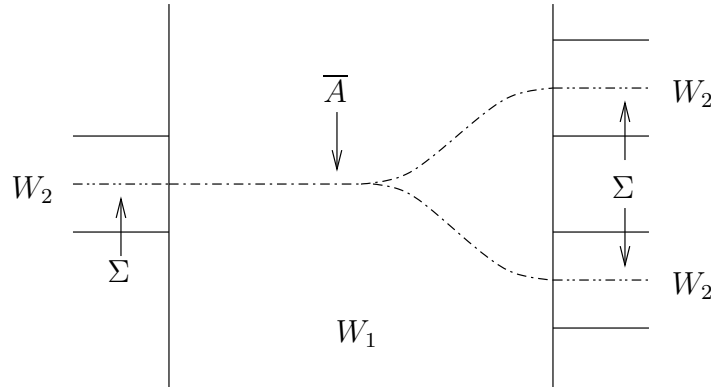


FIG. 6 – V_p

La surface branchée $\overline{\Sigma} \subset V_p$ est construite de la manière suivante. Soient

$$A_- = [0, 1/2) \times \mathbf{S}^1 \quad A_+ = (1/2, 1] \times \mathbf{S}^1,$$

et $f : A \rightarrow \mathbf{C}$ une fonction lisse vérifiant les propriétés suivantes :

- (i) elle est nulle sur A_- ,
- (ii) elle ne s'annule pas sur A_+ ,
- (iii) elle vaut $16z$ sur un voisinage de $\{1\} \times \mathbf{S}^1$,
- (iv) au voisinage de $\{1/2\} \times \mathbf{S}^1$, les déterminations de sa racine carrée sont lisses.

Soient $\overline{A} \subset W_1$ la surface branchée définie par l'équation

$$\overline{A} = \{\zeta^2 = f\},$$

et $\Sigma = \Sigma_g \times 0 \subset W_2$. La réunion $\overline{\Sigma} = \Sigma \cup \overline{A} \subset V_p$ est l'image d'un plongement lisse de $\overline{\Sigma}_g$.

Remarque 4.4. Il n'est pas vrai que si $U = \overline{D(z)} \cup \overline{D(i(z))} \cup \overline{D(r(z))}$, et si $\pi_i : U \rightarrow \mathbf{R}^q$, $i = 0, 1$ sont deux plongements lisses, alors il existe un difféomorphisme $\phi : \mathbf{R}^q \rightarrow \mathbf{R}^q$ tel que $\phi(\pi_0(U)) = \pi_1(U)$. Pour construire un contre-exemple 1-dimensionnel, définissons

$$B_\psi = \{(x, y) \mid y^2 = \psi(x)\}$$

pour toute fonction $\psi : \mathbf{R} \rightarrow \mathbf{R}$. Nous affirmons qu'il n'existe pas de difféomorphisme de classe C^1 de \mathbf{R}^2 dans lui-même qui envoie B_{ψ_0} sur B_{ψ_1} , si ψ_0 et ψ_1 sont choisies de la façon suivante : ψ_0 et ψ_1 sont identiquement nulle sur $(-\infty, 0]$, et pour $x > 0$:

$$\psi_0(x) = \exp(-1/x), \quad \psi_1(x) = (2 + \sin(1/x)) \exp(-1/x).$$

Pourtant, B_{ψ_i} , $i = 0, 1$ sont des images d'un plongement lisse du graphe branché lisse \mathcal{G} , obtenu en identifiant deux points $(0, t) \in 0 \times [0, 1]$ et $(1, t) \in [0, 1]$ si $t \leq 1/2$. Une fonction lisse sur \mathcal{G} étant une fonction qui se relève en une fonction lisse sur chaque $i \times [0, 1]$, $i = 0, 1$. Ainsi, les formes normales que nous avons proposées ne sont pas toutes difféomorphes, même à g et p fixé : leur classe de difféomorphie dépend de la fonction f .

Proposition 4.5. *La tresse normale $N(\overline{\Sigma}, V_p)$ est égale à $1 - 2p$.*

Démonstration. Commençons par calculer une section du fibré normal de $\overline{\Sigma}$ qui ne s'annule pas. Considérons des fonctions lisses $z : \Sigma_g \rightarrow \mathbf{S}^1$ et $z : A \rightarrow \mathbf{S}^1$ qui prolongent les coordonnées $z : \partial. \rightarrow \mathbf{S}^1$ définies sur les bords de Σ et A . Définissons les sections $n_1 : \overline{A} \rightarrow N$ et $n_2 : \Sigma \rightarrow N$ par

$$n_1 = z^\alpha \frac{\partial}{\partial \zeta} \quad \text{et} \quad n_2 = z^\beta \frac{\partial}{\partial \zeta},$$

où α et β sont des entiers. Nous avons

$$d\Phi_+.n_2(z^2, z) = z^{\beta+p} \frac{\partial}{\partial \zeta} \quad \text{et} \quad d\Phi_-.n_2(z, 0) = z^\beta \frac{\partial}{\partial \zeta}.$$

Pour que n_1 et n_2 définissent une section globale n , nous devons choisir $\alpha = \beta = p$.

La section n_+ est donnée sur c_+ par

$$n_+(z^2, z) = -2z \frac{\partial}{\partial \zeta},$$

et nous avons donc pour tout point (z, z^2) de c_+ ,

$$n_+(z^2, z) = -2z^{1-2p} n(z^2, z).$$

La Proposition est donc démontrée.

4.3. Topologie du voisinage de $\bar{\Sigma}$. Nous montrons maintenant que la topologie d'un voisinage de l'image $\bar{\Sigma} = \pi(\bar{\Sigma}_g)$ d'un plongement lisse $\pi : \bar{\Sigma}_g \rightarrow V$ est complètement déterminée par sa tresse normale, et que $\bar{\Sigma}$ est décrite par l'un des modèles que nous avons proposé (donné par le choix d'une fonction $f : A \rightarrow \mathbf{C}$).

Théorème 4.6. *Soit V^4 une variété compacte de dimension 4 orientée et $\pi : \bar{\Sigma}_g \rightarrow V$ un plongement lisse. Il existe un entier p , un voisinage \mathcal{V} de $\bar{\Sigma} = \pi(\bar{\Sigma}_g)$ et un difféomorphisme $\Phi : \mathcal{V} \rightarrow V_p$ préservant l'orientation tel que $\Phi(\bar{\Sigma})$ est l'une des surfaces branchées construites en 4.2.*

Démonstration. Nous commençons par étudier le voisinage du lieu de branchement.

Fait I. *Il existe un voisinage \mathcal{W}_1 du lieu de branchement de $\bar{\Sigma}$ et des coordonnées $\psi_1 = (x, \zeta) : \mathcal{W}_1 \rightarrow A \times \mathbf{C}$ tels que*

$$\bar{\Sigma} \cap \mathcal{W}_1 = \{(x, \zeta) \mid \zeta^2 = f(x)\},$$

où $f : A \rightarrow \mathbf{C}$ est une fonction lisse vérifiant les conditions (i), (ii), (iii) et (iv).

Démonstration. Soit $b \subset \bar{\Sigma}$ le lieu de branchement de $\bar{\Sigma}$. Comme le fibré tangent de $\bar{\Sigma}$ est orienté, il existe un anneau lisse plongé $A \subset V$ tel que $T_b A = T_b \bar{\Sigma}$, et séparé par b en deux anneaux A_+ et A_- . Puisque V est orientée, A est aussi transversalement orienté, et en vertu du Théorème du voisinage tubulaire, il existe un voisinage \mathcal{W}_1 de b et un difféomorphisme $(x, \zeta') : \mathcal{W}_1 \rightarrow A \times \mathbf{C}$ tel que $\psi|_A = id \times 0$. Lorsqu'on choisit l'anneau A assez fin, et quitte à permuter les anneaux A_+ et A_- , l'intersection de $\bar{\Sigma}$ avec une fibre $x \times \mathbf{C}$ est formée de deux points

$(x, \zeta'_i(x))$, $i = 1, 2$, égaux si $x \in A_-$ et distincts si $x \in A_+$. Au voisinage d'un point x de A , ces points sont paramétrés par des déterminations

$$\zeta'_i : A \rightarrow \mathbf{C}, \quad i = 1, 2$$

qui sont des fonctions lisses. De plus la topologie du lieu de branchement impose que ζ'_1 soit changée en ζ'_2 lorsqu'on fait le tour de A_+ . La fonction

$$f' = \left(\frac{\zeta'_1 - \zeta'_2}{2} \right)^2$$

est donc une fonction lisse d'indice impair $2m+1$. Soit $z : A \rightarrow \mathbf{C}^*$ une fonction d'indice 1. Considérons les coordonnées

$$(x, \zeta) = \left(x, z^{-m} \left(\zeta' - \frac{\zeta'_1(x) + \zeta'_2(x)}{2} \right) \right).$$

Dans ces coordonnées, l'équation de $\bar{\Sigma}$ est donnée par

$$\{\zeta^2 = f(x)\},$$

où $f = z^{-2m} f'$, qui est bien d'indice 1 en restriction à A_+ . Le Fait I est démontré.

La surface $\bar{\Sigma} - \text{Int}(\mathcal{W}_1)$ est difféomorphe à Σ_g , et comme V est orientée, son fibré normal est trivial. Soit $\partial_+ \Sigma = \{\zeta^2 = 16z\}$, et $\partial_- \Sigma = \partial_- A \times 0$ dans les coordonnées du Fait I. Observons que nous avons des trivialisations $s_- : \partial_- \Sigma_g \rightarrow N$ et $s_+ : \partial_+ \Sigma_g \rightarrow N$, données par le champ de vecteurs $\frac{\partial}{\partial \zeta}$.

Fait II. *Il existe une section lisse $s : \Sigma_g \rightarrow N$ et un entier p tels que $s|_{\partial_- \Sigma_g} = s_-$ et*

$$s(0, z, \zeta) = z^p s_+(0, z, \zeta),$$

pour tout $(0, z, \zeta)$ de $\partial_+ \Sigma_g$.

Démonstration. Le fibré normal $N \rightarrow \Sigma_g$ est trivial, et la courbe $\partial_- \Sigma_g$ est non homologue à 0, donc il existe une section lisse $\bar{s} : \Sigma_g \rightarrow N$ qui prolonge s_- et qui ne s'annule pas. Prolongeons s_+ en une section lisse sur un anneau C_+ bordant $\partial_+ \Sigma_g$. Soit $f = \bar{s}/s_+$ et p le degré de f . Comme $f^{-1}z^p$ est de degré nul, elle est homotope à la fonction constante 1. Il existe donc une fonction lisse $h : \Sigma_g \rightarrow \mathbf{C}^*$ qui vaut $f^{-1}z^p$ sur $\partial_+ \Sigma_g$ et 1 à l'extérieur de C_+ . La section $s = h\bar{s}$ vérifie alors le Fait II.

Achevons la démonstration du Théorème 4.6. Considérons une métrique riemannienne sur V qui est la métrique riemannienne plate $\psi_1^*(dr^2 + |dz|^2 + |d\zeta|^2)$ en restriction à \mathcal{W}_1 . Nous pouvons supposer que \bar{A} est orthogonal au bord $\partial_+ A \times \mathbf{C}$. Identifions le fibré normal de $\bar{\Sigma}$ avec

l'orthogonal de son fibré tangent. Lorsque $\alpha > 0$ est assez petit, l'application

$$\psi_2 : (x, \zeta) \in \Sigma \times \mathbf{D} \mapsto \exp(\alpha \zeta s(x)) \in V$$

est bien définie et c'est un difféomorphisme sur son image \mathcal{W}_2 . D'autre part, \mathcal{W}_1 et \mathcal{W}_2 s'intersectent exactement sur $\psi_2(\partial\Sigma \times \overline{\mathbf{D}}^2)$. Il suffit alors d'étudier les changements de cartes $\psi_2 \circ \psi_1^{-1}$ pour achever la démonstration du Théorème.

5. DÉCOLLEMENT DU LIEU DE BRANCHEMENT

Le but de ce paragraphe est de construire des plongements lisses des solénoïdes de Sullivan \mathcal{S}_g dans une variété orientée de dimension 4, à partir de plongements lisses des surfaces branchées $\overline{\Sigma}_g$ (Théorème 5.1).

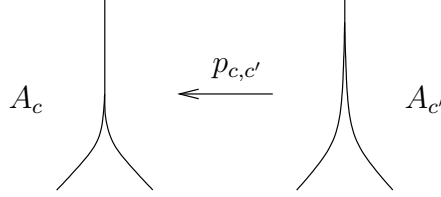


FIG. 7 – L'application $p_{c,c'}$

Esquisons la démonstration dans le cas de genre nul, qui est simple et instructive. Pour tout $0 < c < 1$, notons \overline{A}_c le quotient de l'anneau

$$A_c = \{c^2 \leq |z| \leq c\}$$

par la relation qui identifie les points z , $-z$ et z^2 si $|z| = c$. La surface branchée \overline{A}_c , homéomorphe à $\overline{\Sigma}_0$, est munie de la structure lisse construite en 3.3. Les applications

$$p_c : O \in \mathcal{S} \mapsto O \cap A_c \in \overline{A}_c,$$

sont les analogues continus des applications $p_{0,n}$.

Lorsque $1 > c' > c > 0$, il existe des applications lisses

$$p_{c,c'} : \overline{A}_{c'} \rightarrow \overline{A}_c,$$

telles que $p_c = p_{c,c'} \circ p_c$. Si z est un point de $A_{c'}$, l'orbite positive $O_+(z) = \{z, r(z), \dots, r^n(z), \dots\}$ de z intersecte l'anneau A_c en un point w ou en deux points w et w^2 de modules c et c^2 : $p_{c,c'}(z)$ est la classe de w dans \overline{A}_c . Lorsque c' est proche de c , les fibres de $p_{c,c'}$ sont formées d'un point sur l'anneau $\{c^2 \leq |z| \leq c'^2\}$, et de deux points sur l'anneau $\{c'^2 \leq |z| \leq c\}$. La Figure 5 représente l'application $p_{c,c'}$ lorsque c' est proche de c .

Supposons que l'on ait un plongement lisse $\pi_c : \overline{A_c} \rightarrow V$. Choisissons un réel $c' > c$ et décollons dans V les feuilletts $D(\sqrt{z})$ et $D(-\sqrt{z})$ de $\overline{A_c}$ jusqu'à $\{|z| = c'^2\}$. Nous obtenons alors un plongement lisse $\pi_{c'} : \overline{A_{c'}} \rightarrow V$. Décollons les feuilletts d'une distance de plus en plus petite lorsque c' tend vers 1; la limite de Hausdorff des images des applications $\pi_{c'}$ est un solénoïde par surfaces lisses dans V , qui est diffeomorphe au solénoïde de Sullivan.

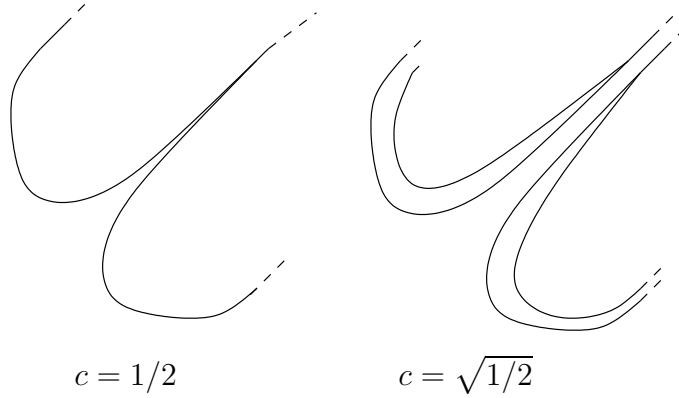


FIG. 8 – Décollement des feuilletts dans M

Théorème 5.1. *Étant donnée une variété orientée V^4 de dimension 4 et un plongement lisse $\pi : \overline{\Sigma_g} \rightarrow V$, il existe un plongement lisse $\pi_\infty : \mathcal{S}_g \rightarrow M$, aussi proche que l'on veut de $\pi \circ p_{g,0}$ dans la topologie lisse.*

Démonstration. Pour tout entier positif g , nous avons un revêtement double lisse

$$p_{2g,g} : \overline{\Sigma_{2g}} \rightarrow \overline{\Sigma_g},$$

induit par le revêtement double $\Sigma_{2g} \rightarrow \Sigma_g$. Le Lemme 5.2 nous explique rigoureusement le procédé de décollement des feuilletts de $\overline{A_c}$ jusqu'à $c' = \sqrt{c}$, et une construction analogue en genre supérieur.

Lemme 5.2. *Soit $\pi_g : \overline{\Sigma_g} \rightarrow V$ un plongement lisse dans une variété orientée de dimension 4. Pour tout entier positif k , il existe un plongement lisse $\pi_{2g} : \overline{\Sigma_{2g}} \rightarrow V$ qui est aussi proche que l'on veut de l'application lisse $\pi_g \circ p_g$ dans la topologie C^k . (L'application π_{2g} est le "décollement" du lieu de branchement sur Σ_g .)*

Démonstration. Nous utilisons le Théorème 4.6. Il suffit donc de le faire pour les exemples de surfaces branchées $\overline{\Sigma}$ plongées dans V_p pour

tout p . Remarquons que $p_{2g,g} : \overline{\Sigma_{2g}} \rightarrow \overline{\Sigma_g} \simeq \overline{\Sigma}$ est le revêtement double de $\overline{\Sigma}$ défini par les fonctions multivaluées

$$\begin{aligned} \sqrt{z} &: (A_- \times \mathbf{C}) \cap \overline{\Sigma} \rightarrow \mathbf{C}^*, & \sqrt{z} &: (\Sigma_g \times \mathbf{D}^2) \cap \overline{\Sigma} \rightarrow \mathbf{C}^*, \\ z^{1/4} &: (A_+ \times \mathbf{C}) \cap \overline{\Sigma} \rightarrow \mathbf{C}^*, \end{aligned}$$

c'est à dire que ces fonctions sont bien définies sur $\overline{\Sigma_{2g}}$. Nous construisons le décollement en trois parties. Soit $\varepsilon > 0$.

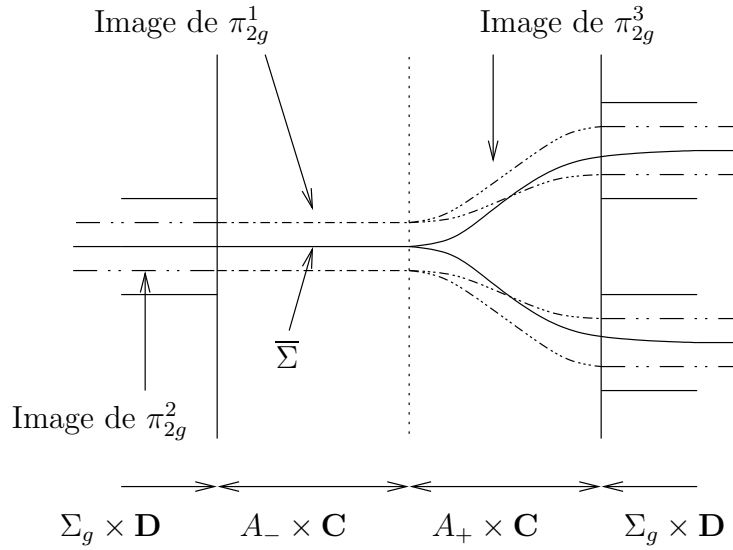


FIG. 9 – L'application $\pi_{2g} : \overline{\Sigma_{2g}} \rightarrow V_p$

I. *Sur* $(A_- \times \mathbf{C}) \cap \overline{\Sigma}$. Considérons l'application

$$\pi_{2g}^1 : x \in p_{2g,g}^{-1}((A_- \times \mathbf{C}) \cap \overline{\Sigma}) \mapsto (x, \varepsilon \sqrt{z}) \in A_- \times \mathbf{C}.$$

Son image est le décollement du lieu de branchement sur $(A_- \times \mathbf{C}) \cap \overline{\Sigma}$.

II. *Sur* Σ . Soit $\varphi_\varepsilon : \Sigma_g \rightarrow (0, +\infty)$ une fonction lisse ne s'annulant pas, valant ε dans un voisinage de $\partial_- \Sigma_g$ et une constante $0 < \eta < \varepsilon$ dans un voisinage de $\partial_+ \Sigma_g$ (cette constante sera déterminée plus tard), et telle que

$$|\varphi_\varepsilon|_{C^k} \leq C\varepsilon,$$

la constante C ne dépendant pas de ε . Posons

$$\pi_{2g}^2 : x \in p_{2g,g}^{-1}((\Sigma_g \times \mathbf{D}^2) \cap \overline{\Sigma}) \mapsto (x, \varphi_\varepsilon(x) \sqrt{z}) \in \Sigma_g \times \mathbf{D}.$$

L'image de π_{2g}^2 est le décollement du lieu de branchement sur Σ .

III. *Sur* $(A_+ \times \mathbf{C}) \times \overline{\Sigma}$. Soit $f_\varepsilon : A \rightarrow \mathbf{C}$ une fonction lisse, ne s'annulant pas, valant $\varepsilon^2 z$ sur A_- , et vérifiant

$$|f^{\frac{1}{2}} - f_\varepsilon^{\frac{1}{2}}|_{C^k} \leq \delta_k(\varepsilon),$$

où δ_k tend vers 0 lorsque ε tend vers 0. D'autre part, soit $g : A \rightarrow \mathbf{C}$ une fonction lisse, nulle sur A_- , ne s'annulant pas sur A_+ , valant z sur un voisinage de $\{1\} \times \mathbf{S}^1$ et telle que les déterminations de $g^{1/4}$ au voisinage de $\{1/2\} \times \mathbf{S}^1$ soient aussi lisses. Posons

$$\pi_{2g}^3 : x \in p_{2g}^{-1}((A_+ \times \mathbf{C}) \cap \overline{\Sigma}) \mapsto (x, f_\varepsilon^{\frac{1}{2}} + \eta g^{\frac{2p+1}{4}}).$$

Nous choisissons η assez petit en sorte que π_{2g}^3 soit un plongement lisse. L'image de π_{2g}^3 est le décollement du lieu de branchement sur $(A_+ \times \mathbf{C}) \cap \overline{\Sigma}$.

Les applications π_{2g}^i , $i = 1, 2, 3$ se recollent bien avec les changements de cartes Φ_+ et Φ_- , pour former un plongement lisse $\pi_{2g} : \overline{\Sigma}_{2g} \rightarrow V_p$ (voir Figure), vérifiant

$$d_k(\pi_{2g}, \pi_g \circ p_{2g,g}) \leq \sup(\delta(\varepsilon), C\varepsilon),$$

et le Lemme est démontré.

Remarque 5.3. Au lieu de "décoller" le lieu de branchement jusqu'à $\partial_+ \Sigma$ dans la deuxième étape, on peut s'arrêter sur une courbe fermée simple contenue dans l'intérieur de Σ , séparant $\partial_- \Sigma$ de $\partial_+ \Sigma$. Nous obtenons de cette façon une surface branchée lisse $\overline{\Sigma}'$ de genre $g \leq g(\overline{\Sigma}') \leq 2g$ donné, arbitrairement proche de $\overline{\Sigma}$.

Achevons la démonstration du Théorème 5.1. Soit \overline{V} un voisinage compact de la surface branchée $\pi(\overline{\Sigma}_g)$. Pour tout k , notons $C^k(\mathcal{S}_g, \overline{V})$ l'espace des applications de classes C^k de \mathcal{S}_g dans \overline{V} , et d_k la distance sur $C^k(\mathcal{S}_g, \overline{V})$ définie par

$$d_k(f, g) = \sup_{x \in \mathcal{S}_g} d(j^k(f)(x), j^k(g)(x)),$$

où j^k désigne le k -ième jet, et la distance d sur les jets étant induite par des métriques données sur \mathcal{S}_g et \overline{V} . Pour tout k , les espaces $(C^k(\mathcal{S}_g, \overline{V}), d_k)$ sont complets.

Pour tout n , notons $\varepsilon_n > 0$ le supremum du diamètre des fibres de $p_{g,n}$. La suite ε_n tend vers 0, d'après le Lemme 3.2. En appliquant le Lemme précédent, nous construisons une suite de plongements *lisses*

$$\pi_n : \overline{\Sigma}_{2n_g} \rightarrow \mathbf{C}P^2,$$

et des voisinages \mathcal{V}_n de $\pi_n \circ p_{g,n} \in C^k(\mathcal{S}_g)$ pour la topologie C^k tels que :

(i) Tout $\pi' \in \mathcal{V}_n$ est une immersion $2\varepsilon_n$ -injective, i.e. deux points séparés d'une distance supérieure à $2\varepsilon_n$ n'ont pas la même image par π' .

(ii) Pour tout $n' \geq n$, $\pi_{n'} \in \mathcal{V}_n$.

(iii) Pour tout k , le d_k -diamètre de \mathcal{V}_n tend vers 0 lorsque n tend vers l'infini.

La suite $\pi_n \circ p_{g,n}$ tend alors vers un plongement lisse de \mathcal{V}_0 et le Théorème 5.1 est démontré.

Question 5.4. Le lecteur pourra s'assurer que la tresse normale de la surface branchée $\overline{\Sigma'} = \pi_{2g}(\overline{\Sigma_{2g}})$ construite au Lemme 5.2 est la même que celle de la surface $\overline{\Sigma}$. Est-il possible de définir la tresse normale de l'image du solénoïde \mathcal{S}_g par un plongement lisse à valeurs dans une variété orientée de dimension 4?

6. SURFACES BRANCHÉES ET SOLÉNOÏDES SYMPLECTIQUES PLANS

Dans ce paragraphe, nous construisons des plongements lisses ε -holomorphes de la surface branchée $\overline{\Sigma}_2$ dans le plan projectif complexe, et donc du solénoïde \mathcal{S}_2 . Le résultat découle de considérations faciles sur la topologie de certaines courbes algébriques planes.

Pour tout $r > 0$, soit $B_r = \{|x| \leq r, |y| \leq r\} \subset \mathbf{C}^2$.

Fait I. *Dans B_2 , considérons la famille de courbes holomorphes C_ε définies par les équations*

$$xy^2 = \varepsilon^2 + \varepsilon^3 R(x),$$

où $R(x)$ est une fonction holomorphe définie sur un voisinage du disque fermé de rayon 2. Pour tout $\varepsilon > 0$ suffisamment petit, il existe un plongement lisse $c\varepsilon$ -holomorphe de \overline{A} dans B_2 , dont l'image \overline{A}_ε coïncide avec C_ε sur $B_2 - B_{2-1/3}$, où $c > 0$ est une constante ne dépendant que de R .

Démonstration. Notons $B_x = \{1 \leq |x| \leq 2, |y| \leq 2\}$ et $B_y = \{|x| \leq 2, 1 \leq |y| \leq 2\}$. Nous avons $B_2 = B_x \cup B_1 \cup B_y$.

Considérons une fonction lisse $\rho_1 : [1, 2] \rightarrow \mathbf{R}$ qui vaut 1 sur $[2 - 1/3, 2]$, 0 sur $[1, 1 + 1/3]$ et telle que $0 < \rho_1 < 1$ sur $[1 + 1/3, 2 - 1/3]$. Définissons

$$A_1 := \{(x, y) \in B_x \mid xy^2 = \rho_1(|x|)(\varepsilon^2 + \varepsilon^3 R(x))\}.$$

Observons que lorsque $\varepsilon > 0$ est assez petit, \overline{A}_1 n'intersecte pas $B_x \cap B_y$. De plus, \overline{A}_1 est un plongement lisse de \overline{A} .

Considérons une fonction lisse $\rho_2 : B_1 \rightarrow \mathbf{R}$ qui vaut 1 sur $B_{1/3}$, 0 à l'extérieur de $B_{2/3}$ et qui prend des valeurs strictement positives sur

$\text{Int}(B_{2/3}) - B_{1/3}$. Définissons

$$A_2 := \{(x, y) \in B_1 \mid xy = \rho(x, y)\varepsilon\} ;$$

A_2 est un anneau lisse, et l'union $A_1 \cup A_2$ est l'image d'un plongement lisse de \overline{A} .

Par le Théorème des fonctions implicites, il existe une famille de fonctions holomorphes X_ε définies sur l'anneau $\{1 \leq |y| \leq 2\}$ telles que

- $X_\varepsilon = O_{\varepsilon \rightarrow 0}(\varepsilon)$.
- $C_\varepsilon \cap B_y = \{(x, y) \mid x = X_\varepsilon(y)\}$.

Définissons

$$A_3 := \{(x, y) \in B_y \mid x = \rho_1(|y|)X_\varepsilon(y)\}.$$

À nouveau, A_3 est un anneau, et l'union $A_1 \cup A_2 \cup A_3$ est l'image par un plongement lisse de \overline{A} , qui coïncide avec C_ε sur $B_2 - B_{2-1/3}$.

Il est aisé de vérifier que $A_1 \cup A_2 \cup A_3$ est une surface branchée $c\varepsilon$ -holomorphe, où $c > 0$ est une constante ne dépendant que de R . Le Fait I est démontré.

Considérons la famille de courbes algébriques C_ε de \mathbf{CP}^2 définies par les équations homogènes

$$xy^2z - \varepsilon^2z^4 - \varepsilon^3R(x, z) = 0,$$

où R est un polynôme homogène de degré 4 en x et z . Si R est choisi génériquement, alors pour tout $\varepsilon > 0$ la courbe C_ε est non singulière. Nous fixerons l'un de ces choix de R . Étant de degré 4 et non singulière, les courbes C_ε sont de genre 3 lorsque $\varepsilon > 0$.

Dans une surface, un anneau est dit *essentiel* s'il ne sépare pas la surface.

Fait II. *Pour $\varepsilon > 0$ assez petit, $B_2 \cap C_\varepsilon$ est un anneau essentiel dans C_ε .*

Démonstration. Dans le plan affine \mathbf{C}^2 de coordonnées x et y , l'équation de C_ε est

$$xy^2 = \varepsilon^2 + \varepsilon^3R(x, 1).$$

Soient

$$D = \{x \in \mathbf{C} \mid |x| \leq 2\} \text{ et } A = \{|x| \leq 2, |\varepsilon^2 + \varepsilon^3R(x, 1)| \leq 4|x|\} \subset D.$$

Lorsque ε est assez petit A est un anneau. Comme la projection $x : B_2 \cap C_\varepsilon \rightarrow A$ est un revêtement double de $C_\varepsilon \cap B_2$ sur A , $C_\varepsilon \cap B_2$ est un anneau.

Pour voir que $C_\varepsilon - B_2$ est connexe pour $\varepsilon > 0$ petit, il suffit de le vérifier pour $\varepsilon = 0$, ce qui est trivial. Le Fait II est démontré.

Théorème 6.1. *Pour tout $\varepsilon > 0$, il existe un plongement lisse ε -holomorphe de $\overline{\Sigma}_2$ dans le plan projectif complexe.*

Démonstration. Il suffit de regarder la famille de courbes C_ε étudiée au Fait II, et de lui appliquer la chirurgie expliquée par le Fait I dans la boule B_2 . On obtient une surface branchée $c\varepsilon$ -holomorphe $\overline{\Sigma}_\varepsilon$, obtenue en enlevant à une surface de genre 3 un anneau essentiel et en le remplaçant par l'anneau branché \overline{A} : $\overline{\Sigma}_\varepsilon$ est donc l'image d'un plongement lisse $c\varepsilon$ -holomorphe de $\overline{\Sigma}_2$ et le Théorème est démontré.

Corollaire 6.2. *Pour tout $\varepsilon > 0$, il existe un plongement lisse ε -holomorphe de \mathcal{S}_2 dans le plan projectif complexe.*

Démonstration. Ceci découle des Théorèmes 6.1 et 5.1.

Nous terminons par deux remarques.

Remarque 6.3. Cet exemple de solénoïde ε -holomorphe dans $\mathbf{C}P^2$ semble indiquer qu'il existe un solénoïde de cette nature dont les feuilles sont des courbes holomorphes. Il est fondé sur le principe, dû à Gromov, selon lequel une surface symplectique est isotope à une courbe holomorphe [8]. L'approche consiste à utiliser la théorie des courbes J -holomorphes pour des structures presque-complexes J calibrées sur la forme de Fubini-Study. Dans notre cas, il est possible de construire une structure presque-complexe J_0 calibrée sur la forme de Fubini-Study pour laquelle les feuilles du solénoïde de 6.2 soient J_0 -holomorphes. Comme l'espace des structures presque-complexes calibrées est connexe par arcs, nous pouvons choisir une famille continue J_t de structures complexes liant J_0 à la structure standard J_1 . Il s'agit alors de déformer notre solénoïde initial en un solénoïde par courbes J_t -holomorphes pour tout t . À titre de motivation nous suggérons les références suivantes où des résultats semblables ont été démontrés : [9, 11]. Même si ces techniques de déformation semblent hors de portée pour l'instant, nous sommes amenés à formuler la conjecture suivante.

Conjecture 6.4. Il existe un solénoïde compact par courbes holomorphes dans le plan projectif complexe, ne contenant pas de courbe algébrique. Nous n'avons par contre pas d'intuition sur la question de savoir si ce solénoïde est tangent à un feuilletage holomorphe.

Remarque 6.5 (A. Glutsyuk). Il est tentant de penser que puisque $\mathcal{S}_2 \subset \mathbf{C}P^2$ n'a pas d'homologie en dimension 2, il peut être isotopé symplectiquement dans \mathbf{R}^4 , muni de la forme symplectique standard. Pourtant, comme nous l'a communiqué A. Glutsyuk ce n'est pas le cas. En effet, il existerait alors une structure presque complexe sur

CP^2 compatible avec la structure symplectique, pour laquelle il existe un solénoïde compact J -holomorphe n'intersectant pas la droite J -holomorphe de l'infini. Or d'après les travaux de Gromov [8], par deux points distincts passent une unique courbe rationnelle J -holomorphe homologue à la droite de l'infini. Il y aurait donc au moins deux composantes connexes dans l'espace des courbes J -holomorphes homologue à la droite de l'infini : celles qui coupent le solénoïde et celles qui ne le coupent pas (car les intersections sont positives). Ceci est une contradiction.

RÉFÉRENCES

- [1] F. BONAHOE. Geodesic laminations on surfaces. Laminations and foliations in dynamics, geometry and topology (Stony Brook, NY, 1998), p. 1-37, *Contemp. Math.*, **269**, Amer. Math. Soc., Providence, RI, 2001.
- [2] C. BONATTI & R. LANGEVIN & R. MOUSSU. Feuilletages de CP^n : de l'holonomie hyperbolique pour les minimaux exceptionnels. *Publ. Math. I.H.É.S.* **75**, (1992), p. 123-134.
- [3] C. CAMACHO & A. LINS NETO & P. SAD. Minimal sets of foliations on complex projective spaces. *Publ. Math. I.H.É.S.* **68** (1988), p. 187-203.
- [4] J. CAO & M.C. SHAW & L. WANG. Estimates for the $\bar{\partial}$ -Neumann problem and nonexistence of C^2 Levi-flat hypersurfaces in CP^n . *Math. Z.* (2004).
- [5] B. DEROIN. Hypersurfaces Levi-plates immergées dans les surfaces complexes de courbure positive. À paraître dans *Ann. Sc. Éc. Norm. Sup.*.
- [6] J.-M. GAMBAUDO. En préparation.
- [7] É. GHYS. Laminations par surfaces de Riemann. *Panor. Synthèses* **8** (1999), p. 49-95.
- [8] M. GROMOV. Pseudoholomorphic curves in symplectic manifolds. *Invent. Math.* **82** (1985), no. 2, p. 307-347.
- [9] M. GROMOV. Foliated Plateau problem. I. Minimal varieties. *Geom. Funct. Anal.* **1** (1991), no. 1, p. 14-79.
- [10] A. IORDAN. On the non-existence of smooth Levi-flat hypersurfaces in CP^n . To appear in *Proceedings of the Memorial Conference of K. Oka's centennial birthday on Complex Analysis in Several Variables*, Kyoto, Nara 2001.
- [11] J. MOSER. Pseudo-holomorphic curves on a torus. *Proc. Roy. Irish Acad. Sect. A* **95** (1995), suppl., p. 13-21.
- [12] Y. SIU. $\bar{\partial}$ -regularity for weakly pseudoconvex domains in compact hermitian symmetric spaces with respect to invariant metrics. *Ann. of Math.* **156** (2002), no. 2, p. 595-621.
- [13] D. SULLIVAN. Linking the universalities of Milnor-Thurston, Feigenbaum and Ahlfors-Bers. Topological methods in modern mathematics, (Stony Brook, NY, 1991), p. 543-564.

- [14] R. F. WILLIAMS. Expanding attractors. *Publ. Math. I.H.É.S.* **43** (1974), p. 169-203.

MAX PLANCK INSTITUT FÜR MATHEMATIK -LEIPZIG
E-mail address: Bertrand.Deroin@mis.mpg.de